



بررسی آزمایشگاهی ابعاد هندسی چاله آبستتگی در آبشکن‌های مختلف در قوس ۹۰ درجه در شرایط غیر مستغرق

سمیه رحیمی^{۱*} - سید محمود کاشفی پور^۲ - محمود شفاعی بجستان^۳ - احمد فتحی^۴

تاریخ دریافت: ۱۳۹۴/۱۱/۲۱

تاریخ پذیرش: ۱۳۹۵/۰۵/۲۴

چکیده

به دلیل وجود جریان‌های ثانویه در انحناء رودخانه، دیواره خارجی در پیچ همواره در معرض تخریب و فرسایش می‌باشد. روش‌های متعددی جهت مقابله با فرسایش قوس خارجی وجود دارد که یکی از ساده‌ترین و در عین حال اقتصادی‌ترین این روش‌ها استفاده از آبشکن می‌باشد. آبشکن به عنوان مانعی در مسیر جریان با کاهش سرعت و ایجاد گردابه‌های افقی در بین آبشکن‌ها باعث رسوبگذاری و حفاظت دیواره آبراهه می‌گردد. از طرفی این گردابه‌ها باعث افزایش تنفس برپیش شده و افزایش فرسایش و آبستتگی را در اطراف آبشکن به خصوص در دماغه به همراه خواهد داشت. در این تحقیق به بررسی هندسه چاله آبستتگی پیرامون آبشکن‌های نفوذناپذیر و باندال لایک^۵ که به صورت ترکیبی از آبشکن نفوذناپذیر و نفوذناپذیر می‌باشد، در قوس ۹۰ درجه ملایم و در شرایط غیر مستغرق پرداخته شده است. برای این منظور در یک فلوم قوسی ۹۰ درجه و ملایم (نسبت شعاع قوس به عرض کanal برابر^(۴)) و دارای بستر رسوبی با قطر متوسط ۱/۵ میلی‌متر و در شرایط آب زلال، آزمایش‌ها طراحی و انجام شد. بازه تغییرات عدد فرود در آزمایش‌های انجام شده بین ۰/۰۲۹ تا ۰/۰۲۲ متغیر می‌باشد. نتایج بیانگر این بود که با افزایش درصد نفوذناپذیری میزان حداقل ابعاد چاله آبستتگی کاهش می‌باشد. ضمناً افزایش عدد فرود جریان باعث افزایش ابعاد چاله آبستتگی شده که این تاثیر در آبشکن‌های نفوذناپذیر و باندال لایک کمتر بوده است.

واژه‌های کلیدی: باندال لایک، حفاظت دیواره رودخانه، قوس آبراهه

مقدمه

خارجی رودخانه استفاده از آبشکن است و معمولاً با اهدافی نظری کنترل سیالات، حفاظت از سواحل رودخانه و بهبود شرایط کشتیرانی اجرا می‌گردد. با این حال، ساخت و نگهداری چنین سازه‌هایی با صرف هزینه و وقت زیاد همراه است. سازه باندال لایک یک جاگزین کم هزینه برای آبشکن‌های مرسوم تلقی می‌شود. این سازه به طور معمول به منظور بهبود بخشیدن به شرایط کشتیرانی در بنگلادش نزدیک به شبه قاره هند استفاده می‌گردد. باندال لایک‌ها با استفاده از ساقه‌های بامبو یا قطعه‌های چوب ساخته شده و روش ساخت این سازه‌ها در مقایسه با آبشکن‌های نفوذناپذیر که معمولاً از مصالح گران قیمت نظیر بتون ساخته می‌شوند بسیار ساده‌تر می‌باشد. سازه باندال لایک به صورت ترکیبی از دو قسمت نفوذناپذیر و نفوذناپذیر می‌باشد. که قسمت بالای آن (بخش نفوذناپذیر) جریان نزدیک سطح آب (جریان با سرعت بالا) را به میانه رودخانه منتقل می‌نماید و باعث ایجاد جریان متلطم چرخشی و گردابی در اطراف سازه خواهد گردید که شامل مؤلفه جریان رو به پایین و گردابه‌های نعل اسی می‌باشد که عامل اصلی

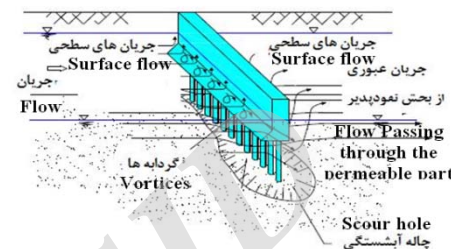
جریان در رودخانه‌ها و مجاري باز در مسیر حرکت خود علاوه بر عبور از مسیرهای مستقیم ملزم به گذر از مسیرهایی با انحنای مختلط می‌باشد. از مشخصه‌های بارز جریان در قوس رودخانه، وجود جریان ثانویه است که تاثیر به سزاوی در الگوی جریان و شکل‌گیری بستر رودخانه دارد. با توجه به هیدرولیک جریان در خم رودخانه‌ها، قوس خارجی همواره تحت تأثیر بردارهای شدید سرعت بوده و دچار وظایف مهم در مهندسی رودخانه حفاظت قوس خارجی از شروع و توسعه تخریب می‌باشد. یکی از روش‌های تثبیت ساحل در قوس

۱، ۲ و ۴ - به ترتیب دانشجوی دکتری، استادان و استادیار گروه سازه‌های آبی، دانشکده مهندسی علوم آب، دانشگاه شهری چمران اهواز
(Email: aes Rahimi@yahoo.com)
(* نویسنده مسئول:
DOI: 10.22067/jsw.v31i1.53009
5- Bandal-like

سازه باندال لایک را تهیه کردند. ژانگ و همکاران (۱۳) از نظر هیدرولیکی و مرفوپلوریکی به بررسی آزمایشگاهی سازه باندال لایک وائز بخشی آن بر حفاظت ساحل در طول رودخانه جامونا در بنگالادش پرداختند و دریافتند این سازه می‌تواند به نحوه مؤثری رسوبگذاری در ساحل را افزایش دهد. تراگوچی و همکاران (۹ و ۱۰) تحقیقات آزمایشگاهی و شبیه‌سازی عددی خود را در زمینه‌ی تاثیر این سازه بر روی مرفوپلوری رودخانه در کanal اصلی انجام دادند. در این تحقیق خصوصیات الگوی جریان در اطراف این سازه به صورت مستغرق و غیر مستغرق، آبشنستگی موضعی و حفاظت از سواحل در مقابل فرسایش مورد بررسی قرار گرفت همچنین این نتایج با نتایج آزمایش‌هایی که برروی آبشنکن نفوذپذیر و نفوذناپذیر انجام شده بود مورد مقایسه واقع شد. آزمایش‌های مربوط به تحقیق تراگوچی و همکاران (۹) در یک فلوم به طول ۱۰ متر، عرض ۰/۸ متر و ارتفاع ۰/۲۸ متر (عمق منطقه مورد آزمایش ۰/۴۵ متر) و دارای بستر رسوبی با قطر متوسط ذرات ۸۳۵/۰ میلی‌متر و با در نظر گرفتن زمان تعادل ۶ ساعت و در شرایط بستر زنده طراحی و اجرا شد. نتایج نشان داد این سازه در مقایسه با آبشنکن‌های نفوذناپذیر چاله آبشنستگی کوچک‌تری را ایجاد می‌کند همچنین به دلیل اینکه بخش پایینی سازه نفوذپذیر است رسوبات معلق از این بخش عبور کرده و در پایین دست سازه تهشیست می‌شوند. از این رو این سازه در رودخانه‌های آبرفتی می‌تواند کارایی خوبی در جهت حفاظت از سواحل و بستر رودخانه داشته باشد. در نهایت این محققین یک مدل سه بعدی جهت شبیه‌سازی جریان و آبشنستگی در اطراف آبشنکن ارائه کردند و توانستند توزیع سرعت و رسوبگذاری را اطراف سازه در دو حالت مستغرق و غیر مستغرق بررسی کنند. شجاعیان و همکاران (۸) تاثیر درصد نفوذپذیری بر روی حداکثر عمق آبشنستگی در اطراف سازه باندال لایک را در شرایط غیر مستغرق و در مسیر مستقیم مورد بررسی قرار دادند. در این مطالعه آزمایش‌ها در شرایط آب زلال و با در نظر گرفتن ۴ درصد نفوذپذیری (۹) و ۴ دبی مختلف انجام گرفته است. در همه آزمایش‌ها طول آبشنکن (L) و نسبت فاصله به طول آبشنکن (S/L) ثابت و به ترتیب ۲۰ درصد عرض کanal و ۳ در نظر گرفته شده است. نتایج این تحقیق نشان داد که حداکثر عمق آبشنستگی در اطراف آبشنکن‌های نفوذناپذیر به مراتب بیشتر از آبشنکن‌ها از نوع باندال لایک می‌باشد. آنها گزارش کرده‌اند که کمترین مقدار کاهش عمق نسبی آبشنستگی در باندال لایک نسبت به آبشنکن نفوذناپذیر ۳۴/۲ درصد می‌باشد که این مقدار کاهش در نفوذپذیری ۳۰ درصد و عدد فرود ۰/۲۴ اتفاق می‌افتد و بیشترین مقدار آن معادل ۹۴/۸ درصد که در نفوذپذیری ۶۴ درصد و عدد فرود ۰/۱۸ رخ داده است.

مطالعات گذشته بیانگر فقدان تحقیقات در مورد سازه باندال لایک مستقر در قوس است. در این مقاله به بررسی هندسه حفره آبشنستگی پیرامون آبشنکن‌های نفوذپذیر، نفوذناپذیر و باندال لایک در یک قوس

آبشنستگی به حساب می‌آیند. قسمت پایینی سازه همانند یک آبشنکن نفوذپذیر عمل کرده و امکان عبور خطوط جریان از میدان آبشنکن را فراهم می‌نماید و باعث کاهش سرعت جریان در این قسمت می‌گردد. کاهش سرعت عبوری در این بخش تا اندازه‌ای تهشیستی رسوبات در پایین دست سازه را به دنبال خواهد داشت (شکل ۱). بدیهی است که عمق چاله فرسایشی به لحاظ نفوذپذیر بودن سازه (در بخش پایینی) در مقایسه با آبشنکن‌های بسته به طور محسوسی کمتر است.



شکل ۱- الگوی جریان در اطراف سازه باندال لایک تراگوچی (۹)

Figure 1- Flow structure around the bandal-like, Teraguchi (9)

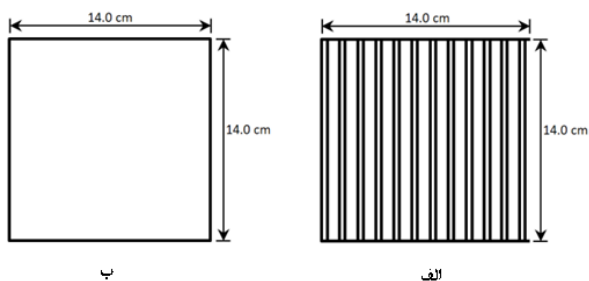
مطالعات انجام گرفته در خصوص سازه باندال لایک در مقایسه با سایر سازه‌های اصلاح کننده الگوی جریان اعم از: انواع آبشنکن‌ها، سریز مستغرق^۳، صفحات مستغرق^۳ وغیره محدود بوده و از طرف دیگر این مطالعات برای کanal‌ها یا آبراهه‌هایی در مسیرهای مستقیم انجام شده است.

اولین تحقیق در مورد بکارگیری سازه باندال لایک در مسیر مستقیم توسط رحمان و همکاران (۲) انجام گرفت. در ادامه رحمان و همکاران (۳، ۴ و ۵) مطالعات آزمایشگاهی در خصوص سازه باندال لایک تحت شرایط آبشنستگی آب زلال و بستر تحلیلی پرداختند و با استفاده از نتایج آزمایشگاهی مدل را از نظر صحت و دقت مورد ارزیابی قرار دادند. نتایج این صحت سنجی نشان داد که تطابق خوبی بین داده‌های مدل و نتایج آزمایشگاهی وجود دارد. همچنین تجزیه تحلیل اطلاعات میدانی و تحقیقات آزمایشگاهی آنها نشان داد که الگوی جریان در اطراف این سازه در مقایسه با آبشنکن‌های نفوذناپذیر متفاوت است. شارمین و همکاران (۷) بر روی جنبه‌های کاربردی این سازه و بررسی الگوی جریان و رسوبگذاری در نزدیک سازه، تحقیقات میدانی را انجام دادند. ژانگ و همکاران (۱۲) در تحقیقی مدل ریاضی ۳ بعدی جهت محاسبه انتقال رسوب معلق و الگوی جریان اطراف

1- Spur dike

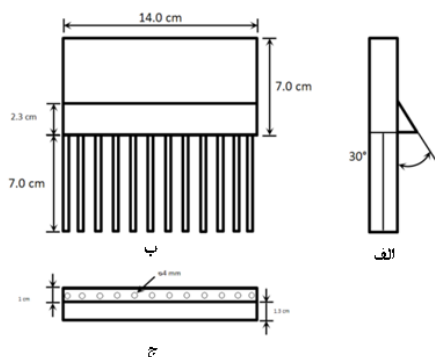
2- Bendway weir

3- Submerged Vanes



شکل ۳- نمای سازه‌های مورد استفاده در تحقیق حاضر الف: آبشنکن نفوذپذیر ب: آبشنکن نفوذناپذیر

Figure 3- Details of structures used in this study (right: permeable spur dike; left: impermeable spur dike)



شکل ۴- نمای سازه باندال لایک الف: نمای جانبی، ب: نما از جلو، ج: پلان

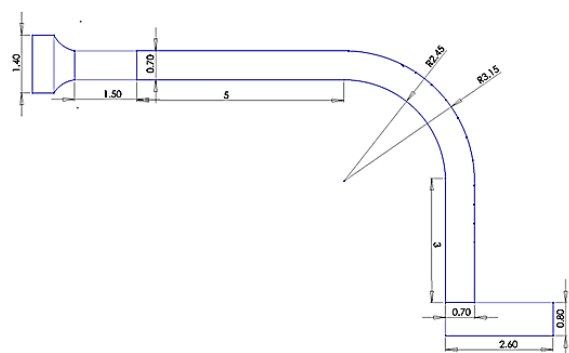
Figure 4- Details of bandal-like structure (left top: front view; left bottom: top view; right: side view)

در تمامی آزمایش‌ها شرایط آب زلال حاکم بود. به منظور تعیین زمان تعادل یک آزمایش طولانی مدت با بازه زمانی بیش از ۱۱ ساعت انجام پذیرفت. نظر به اینکه بیش از ۹۰ درصد آبشنستگی در ۳ ساعت ابتدایی آزمایش اتفاق افتاد، لذا مدت زمان انجام هر آزمایش ۳ ساعت در نظر گرفته شد. در ابتدای هر آزمایش با استفاده از یک ارابه متحرک، بستر کanal مسطح می‌گردید. از آنجا که سرعت اولیه جریان ممکن بود باعث آبشنستگی شدید اطراف آبشنکن‌ها گردد، دریچه کشوئی انتهای فلوم کاملاً بسته شده، و جریان با دبی کم و به آرامی به داخل فلوم منتقل می‌گردد. پس از بالا آمدن سطح آب در کanal، به صورت تدریجی جریان تا دبی مورد نظر افزایش می‌یابد. پس از تنظیم دبی، عمق مورد نظر (یعنی ۱۴ سانتیمتر)، که در تمامی آزمایش‌ها ثابت می‌باشد (توسط دریچه کشوئی انتهای فلوم تنظیم می‌گردد). در انتهای آزمایش نیز با خاموش کردن پمپ، جریان به صورت تدریجی از کanal خارج و زهکشی کanal به طور کامل انجام می‌پذیرفت سپس توپوگرافی بستر با استفاده از متر لیزری مدل Leica Disto A5 برداشت می‌گردد. در آزمایش‌ها ۴ دبی با مقادیر ۲۵، ۲۷، ۳۰، ۳۳ و ۳۶ لیتر بر ثانیه که به ترتیب متناظر با عده‌های فرود

۹۰ درجه مالایم پرداخته شده است.

مواد و روش‌ها

آزمایش‌ها در کanalی با قوس ۹۰ درجه در آزمایشگاه مدل‌های فیزیکی دانشکده مهندسی علوم آب دانشگاه شهید چمران اهواز انجام گرفت. شکل ۲ پلان و هندسه قوس مورد نظر را نشان می‌دهد. این کanal از یک قسمت مستقیم به طول ۵ متر در بالادست و همچنین قسمت مستقیمی به طول ۳ متر در پایین دست تشکیل می‌شود که این دو مسیر مستقیم توسط قوس ۹۰ درجه به شعاع انحنای داخلی ۲/۴۵ و خارجی ۳/۱۵ متر به هم متصل گردیده است. نسبت شعاع متوسط قوس به عرض کanal ($14.0/7 = 2$ متر) برابر ۴ (قوس مالایم) و ارتفاع آن ۸۰ سانتی‌متر است. کف کanal از رسوباتی با معادل D_{50} ۱/۵ میلی‌متر و انحراف میار $1/22$ پوشیده شده است. دبی جریان به وسیله یک دبی سنج اولتراسونیک اندازه‌گیری و کنترل می‌گردد. برای کنترل عمق جریان از یک دریچه کشوئی که در انتهای کanal نصب گردیده استفاده شد. بخش نفوذناپذیر آبشنکن‌ها از جنس پلاکسی گلاس با ضخامت ۱۰ میلی‌متر و برای ساخت قسمت نفوذپذیر از مفتول‌هایی به قطر ۴ میلی‌متر استفاده شد. به منظور بهبود عملکرد سازه باندال لایک در مرز بین قسمت نفوذپذیر و نفوذناپذیر یک صفحه از جنس چوب و با زاویه 30° درجه نسبت به محور عمودی قرار گرفته است. طول آبشنکن (L) معادل ۱۴ سانتی‌متر یعنی ۲۰ درصد عرض مقطع انتخاب گردید (شکل ۳ و ۴). به منظور بررسی ابعاد هندسی چاله آبشنستگی از ۵ سری آبشنکن (نفوذناپذیر، نفوذپذیر با درصد نفوذپذیری ۳۳ و ۶۴ درصد و باندال لایک با درصد نفوذپذیری ۳۳ و ۶۴ درصد) استفاده گردید. در این تحقیق زاویه استقرار محور آبشنکن نسبت به جهت جریان اصلی 90° درجه و نسبت (S/L) فاصله بین دو آبشنکن، ۴ در نظر گرفته شده است.

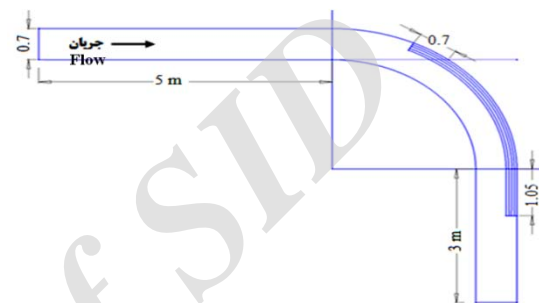


شکل ۲- پلان مدل فیزیکی مورد استفاده (ابعاد بر حسب متر)
Figure 2- Plan view of the physical model (Dimensions in meters)

۰/۲۶، ۰/۲۹ و ۰/۲۴ می باشد، اعمال گردید.

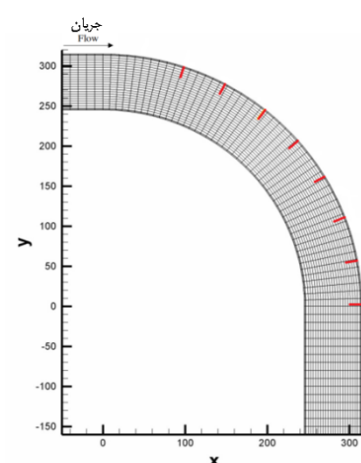
نتایج و بحث

استاندارد معرفی شده توسط ^۱ USACE (۱۱) که جهت محافظت از سواحل در مناندرها ارائه شده، می تواند گزینه مناسبی جهت آزمایش آشکن‌ها در قوس تلقی شود. بر همین اساس در تحقیق حاضر محدوده فرسایش‌پذیر در قوس ۹۰ درجه بصورت شکل ۵ می‌باشد و با توجه به این که نسبت (S/L) برابر با ^۴ تعیین شده در نتیجه تعداد آشکن‌های به کار رفته در هر آزمایش برابر با ^۸ عدد می‌باشد که موقعیت قرارگیری آشکن‌ها در شکل ۶ نشان داده شده است.



شکل ۵ - محدوده فرسایش‌پذیر در قوس ۹۰ درجه (ابعاد بر حسب متر می‌باشد)

Figure 5- Extent of protection required at a 90 degree bend (Dimensions in meters)



شکل ۶ - موقعیت قرارگیری آشکن‌ها در قوس ۹۰ درجه (ابعاد بر حسب سانتی‌متر می‌باشد)

Figures 6- Positions of spur dikes at a 90 degree bend (Dimensions in centimeters)

به منظور بررسی چگونگی تغییرات ابعاد آشستگی، در هر

آزمایش آشکنی که بیشترین میزان آشستگی در اطراف آن شکل گرفته بود، به عنوان آشکن حساس و بحرانی در نظر گرفته شد. جدول ۱ محل قرارگیری آشکن بحرانی را در هر آزمایش نشان می‌دهد. علت این پدیده این است که در مقطع انتهایی قوس عمق آب که بر اثر نیروی گریز از مرکز در قوس خارجی افزایش یافته، می‌خواهد به حالت مسیر مستقیم برگردد، لذا کاهش یافته و سبب منفی شدن گرادیان طولی فشار می‌گردد، بنابراین سرعت در تزدیکی دیواره خارجی افزایش یافته و پروفیل سرعت، حالت تندری بخود می‌گیرد. در نتیجه، دو عامل جریان ثانویه و گرادیان طولی فشار در این حالت به عنوان عوامل همسو عمل کرده و باعث افزایش بیشتر سرعت در ناحیه نزدیک دیواره خارجی می‌شوند بنابراین در این ناحیه تنفس برشی افزایش می‌یابد که نشان‌دهنده پتانسیل بالای آشستگی و تخریب دیواره‌ها در دیواره خارجی و همچنین قسمت مستقیم پایین دست است این موضوع نتایج تحقیقات فضلی و همکاران (۱) و همچنین شاکر و کاسفی پور (۶) را تأیید می‌نماید. بعد از مشخص شدن آشکن بحرانی ابعاد چاله آشستگی در اطراف آن‌ها مورد بررسی قرار گرفت. در شکل ۷ نمایی شماتیک از ابعاد چاله آشستگی نشان داده شده است. در این شکل ۷ بیان کننده کشیدگی چاله آشستگی و W عرض چاله آشستگی را نشان می‌دهد.

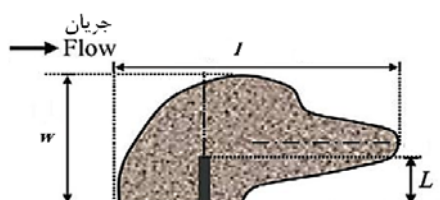
شکل (۸) اثر نوع آشکن را بر تغییرات حداکثر عمق آشستگی نسبی نشان می‌دهد. محور افقی نمودار عدد فرود جریان و محور عمودی نسبت بی‌بعد حداکثر عمق آشستگی به عمق جریان می‌باشد. با توجه به شکل ۸ مشخص است که با افزایش عدد فرود میزان حداکثر عمق آشستگی در هر پنج نوع سازه افزایش می‌یابد. دلیل این امر آن است که با زیاد شدن عدد فرود سرعت جریان بیشتر شده و در نتیجه تنفس برشی اعمالی از طرف جریان افزایش و عمق آشستگی نیز افزایش می‌یابد. همچنین ملاحظه می‌گردد که حداکثر عمق آشستگی در آشکن‌های نفوذناپذیر به مقدار قابل توجهی بیشتر از آشکن‌های نفوذپذیر و باندال لایک می‌باشد دلیل این افزایش را می‌توان این گونه توجیه کرد که در آشکن‌های نفوذناپذیر، جریان پس از برخورد به دیواره آشکن و تبدیل انرژی سرعتی به فشاری به سمت پایین (بستر) حرکت کرده و پس از برخورد به بستر و ایجاد گردابه‌های نعل اسپی و برخاستگی و در نتیجه ایجاد گردابه‌های حلزونی باعث شسته شدن رسوبات در این ناحیه می‌شود. با افزایش درصد نفوذپذیری در آشکن‌های نفوذپذیر و باندال لایک مقدار حداکثر عمق آشستگی نسبی کاهش یافته است. علت این امر این است که بخشی از جریان از میدان تأثیر آشکن عبور کرده و باعث کاهش قدرت گردابه‌ها می‌گردد. میزان حداکثر عمق آشستگی نسبی در آشکن باندال لایک و نفوذپذیر به هم نزدیک می‌باشد، که نشان دهنده تأثیر قسمت نفوذپذیر آشکن باندال لایک در کاهش میزان حداکثر آشستگی است.

مقدار کاهش عمق آبشنستگی نسبی در آبشکن‌های نفوذپذیر و باندال لایک به ترتیب نسبت به آبشکن نفوذناپذیر در اعداد فرود مختلف به طور میانگین حداقل ۶۲ درصد و ۵۵ درصد در نفوذپذیری می‌باشد.

جدول ۱- محل قرارگیری آبشکن بحرانی

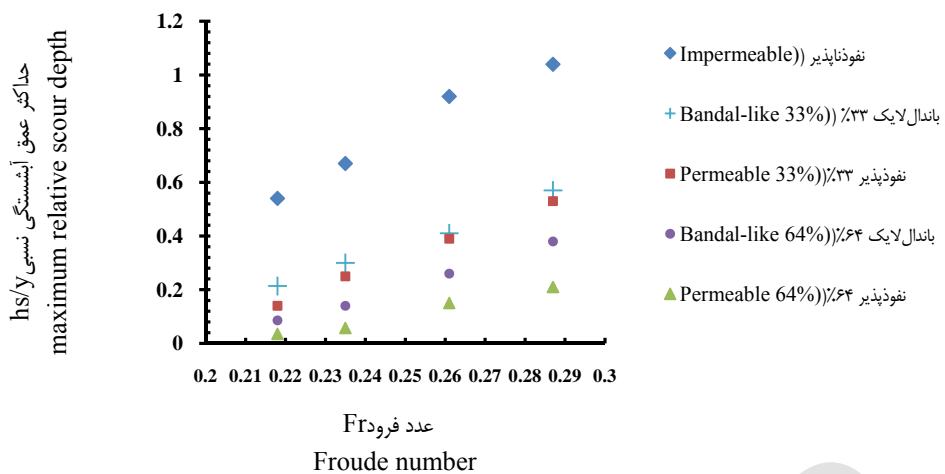
Table 1- Location of critical spur dike

نوع آبشکن Spur type	درصد نفوذپذیری Permeability percentage	عدد فرود Froude number	شماره آبشکن بحرانی Number of critical spur	محل قرارگیری آبشکن Location of spur dike
آبشکن نفوذپذیر permeable spur dike	33	0.22	آبشکن هشتم Eighth spur dike	مسیر مستقیم خروجی outlet straight reach
	33	0.24	آبشکن هشتم Eighth spur dike	مسیر مستقیم خروجی outlet straight reach
	33	0.26	آبشکن هشتم Eighth spur dike	مسیر مستقیم خروجی outlet straight reach
	33	0.29	آبشکن هشتم Eighth spur dike	مسیر مستقیم خروجی outlet straight reach
	64	0.22	آبشکن هفتم Seventh spur dike	زاویه ۸۰ تا ۹۰ درجه قوس 80 to 90 degrees of the bend
	64	0.24	آبشکن هفتم Seventh spur dike	زاویه ۸۰ تا ۹۰ درجه قوس 80 to 90 degrees of the bend
	64	0.26	آبشکن هفتم Seventh spur dike	زاویه ۸۰ تا ۹۰ درجه قوس 80 to 90 degrees of the bend
	64	0.29	آبشکن هفتم Seventh spur dike	زاویه ۸۰ تا ۹۰ درجه قوس 80 to 90 degrees of the bend
	0	0.22	آبشکن هشتم Eighth spur dike	مسیر مستقیم خروجی outlet straight reach
	0	0.24	آبشکن هشتم Eighth spur dike	مسیر مستقیم خروجی outlet straight reach
آبشکن نفوذناپذیر Impermeable spur dike	0	0.26	آبشکن هشتم Eighth spur dike	مسیر مستقیم خروجی outlet straight reach
	0	0.29	آبشکن هفتم Seventh spur dike	زاویه ۸۰ تا ۹۰ درجه قوس 80 to 90 degrees of the bend
	33	0.22	آبشکن هشتم Eighth spur dike	مسیر مستقیم خروجی outlet straight reach
	33	0.24	آبشکن هشتم Eighth spur dike	مسیر مستقیم خروجی outlet straight reach
	33	0.26	آبشکن هشتم Eighth spur dike	مسیر مستقیم خروجی outlet straight reach
	33	0.29	آبشکن هشتم Eighth spur dike	مسیر مستقیم خروجی outlet straight reach
	64	0.22	آبشکن هشتم Eighth spur dike	مسیر مستقیم خروجی outlet straight reach
	64	0.24	آبشکن هشتم Eighth spur dike	مسیر مستقیم خروجی outlet straight reach
	64	0.26	آبشکن هشتم Eighth spur dike	مسیر مستقیم خروجی outlet straight reach
	64	0.29	آبشکن هشتم Eighth spur dike	مسیر مستقیم خروجی outlet straight reach
آبشکن باندال لایک Bandal-like	33	0.22	آبشکن هشتم Eighth spur dike	مسیر مستقیم خروجی outlet straight reach
	64	0.22	آبشکن هشتم Eighth spur dike	مسیر مستقیم خروجی outlet straight reach
	64	0.24	آبشکن هشتم Eighth spur dike	مسیر مستقیم خروجی outlet straight reach
	64	0.26	آبشکن هشتم Eighth spur dike	مسیر مستقیم خروجی outlet straight reach
	64	0.29	آبشکن هشتم Eighth spur dike	مسیر مستقیم خروجی outlet straight reach
	64	0.29	آبشکن هشتم Eighth spur dike	مسیر مستقیم خروجی outlet straight reach
	64	0.29	آبشکن هشتم Eighth spur dike	مسیر مستقیم خروجی outlet straight reach



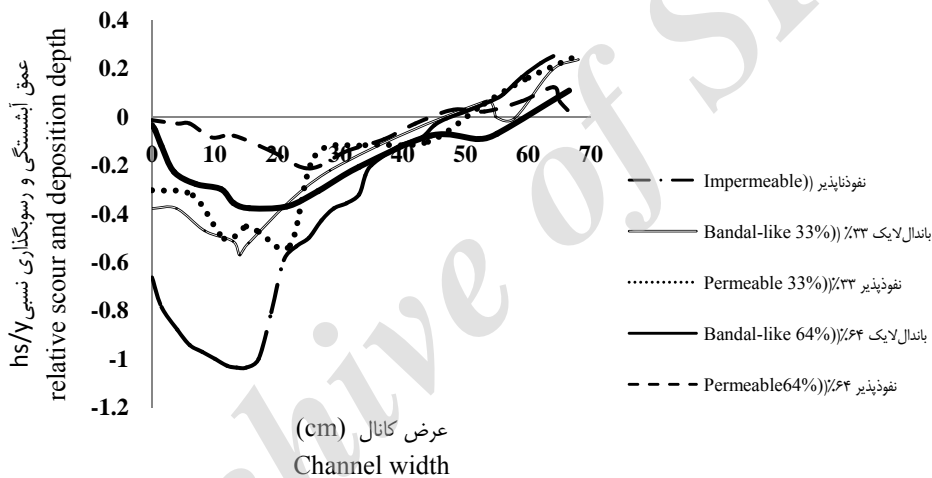
شکل ۷- نمای شماتیک گسترش چاله آبشنستگی اطراف آبشکن

Figure 7- Schematic view of extension of scour hole around spur dike



شکل ۸- تغییرات حداکثر عمق آبشنستگی نسبی نسبت به عدد فرود برای انواع آبشکن

Figure 8- Maximum relative scour depth variations as a function of Froude number for different types of spur dike



شکل ۹- تغییرات عمق آبشنستگی و رسوبگذاری با میزان نفوذپذیری در عرض کanal

Figure 9- Scour and deposition depth variations as a function of permeability percentage in channel width in $Fr=0.29$

طور میانگین، در آبشکن‌های نفوذپذیر با نفوذپذیری ۳۳ و ۶۴ درصد به ترتیب، ۳۳ و ۴۶ درصد نسبت به آبشکن‌های بسته کاهش یافته است. همچنین به طور میانگین آبشکن‌های باندال لایک با نفوذپذیری ۳۳ و ۶۴ درصد به ترتیب، ۹ و ۱۲ درصد افزایش را نسبت به آبشکن‌های نفوذپذیر نشان می‌دهند.

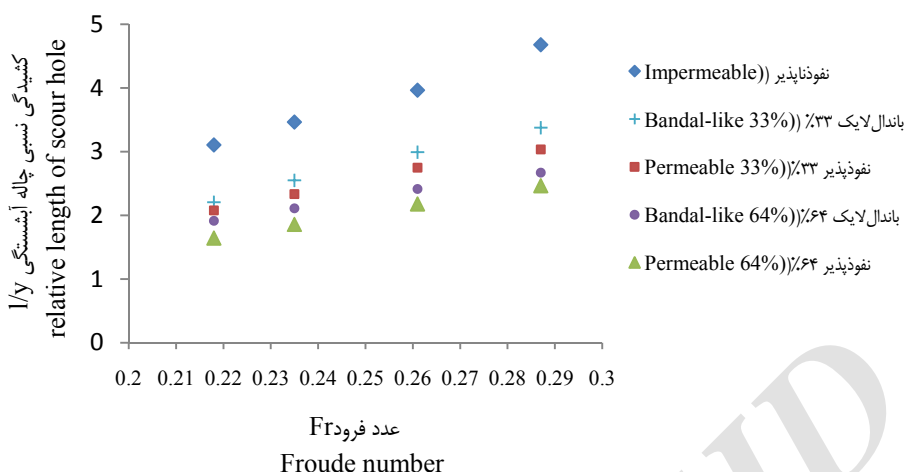
شکل ۱۱ اثر نفوذپذیری آبشکن‌ها را بر تغییرات حداکثر عرض آبشنستگی نسبی، نشان می‌دهد. محور افقی نمودار، عدد فرود جریان و محور عمودی، نسبت عرض چاله آبشنستگی به عمق جریان می‌باشد. بر اساس نمودار ارائه شده، حداکثر عرض آبشنستگی با کاهش میزان نفوذپذیری آبشکن‌ها، یک روند افزایشی دارد و بیشترین عرض چاله آبشنستگی در آبشکن‌های نفوذناپذیر به چشم می‌خورد. همچنین میزان

شکل ۹ اثر نوع آبشکن بر تغییرات پروفیل عرضی را، در مقاطعی که حداکثر عمق آبشنستگی اتفاق می‌افتد، برای عدد فرود ماقزیموم نشان می‌دهد. محور افقی، عرض فلوم و محور عمودی، عمق آبشنستگی نسبی می‌باشند.

در شکل ۱۰ تغییرات حداکثر طول آبشنستگی نسبی، تحت تأثیر انواع آبشکن‌ها نشان داده شده است. محور افقی نمودار، عدد فرود جریان و محور عمودی، نسبت حداکثر کشیدگی چاله آبشنستگی به عمق جریان می‌باشد. همان‌طور که از نمودار مشخص است کشیدگی نسبی چاله آبشنستگی نیز بر اثر کاهش نفوذپذیری آبشکن‌ها افزایش یافته و در آبشکن‌های بسته به بیشترین مقدار خود رسیده است. بر اساس نتایج کمی به دست آمده، حداکثر طول آبشنستگی نسبی به

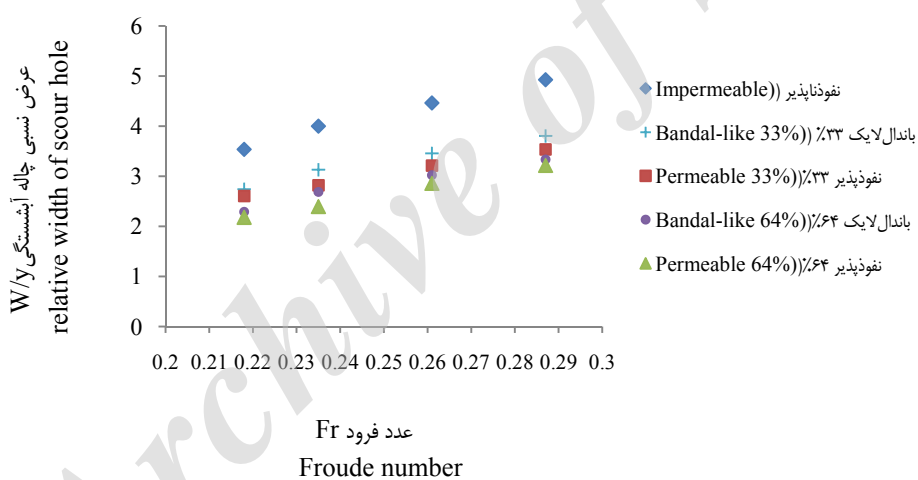
عمدتاً تحت تأثیر قسمت نفوذپذیر سازه می‌باشد.

عرض چاله آبشنستگی در آبشنکن باندال لایک و نفوذپذیر به یکدیگر نزدیک می‌باشد. بنابراین عرض چاله آبشنستگی در سازه باندال لایک



شکل ۱۰ - تغییرات کشیدگی نسبی چاله آبشنستگی نسبت به عدد فرود برای انواع آبشنکن‌ها

Figure 10- Relative scour hole length variations as a function of Froude number for different types of spur dike



شکل ۱۱ - تغییرات عرض نسبی چاله آبشنستگی نسبت به عدد فرود برای انواع آبشنکن‌ها

Figure 11- Relative scour hole width variations as a function of Froude number for different types of spur dike

دماغه اتفاق می‌افتد. در اصل بخش فوقانی باندال لایک به عنوان آبشنکن بسته جریان را از دیواره دور می‌کند و بخش زیرین آن به عنوان آبشنکن باز ضمن کاهش سرعت جریان از آبشنستگی زیاد دماغه جلوگیری می‌کند. به عبارتی هر دو وظیفه را به خوبی انجام می‌دهد، ضمن آینکه وجود دفلکتور در مرز بین دو بخش بالایی و پایینی باعث می‌شود خطوط جریان به آرامی از بخش باز سازه عبور نمایند. مقایسه حداکثر عمق آبشنستگی نسبی بین نتایج مطالعه شجاعیان و همکاران (۸) برای شرایط کanal مستقیم با نتایج این مطالعه (قوس

در جدول ۲ درصد کاهش ابعاد چاله آبشنستگی در آبشنکن‌های نفوذپذیر و باندال لایک نسبت به آبشنکن نفوذناپذیر آمده است. نکته اساسی مورد بحث این است که آبشنکن باندال لایک کارایی لازم را در حفاظت دیواره‌های رودخانه در مقایسه با آبشنکن بسته یا نفوذناپذیر ندارد، اما در مقابل آبشنستگی دماغه آبشنکن به مراتب کمتر می‌باشد. آبشنکن باز یا نفوذپذیر سرعت جریان را کاهش داده و تا اندازه‌ای دیواره رودخانه را توسط کاهش سرعت جریان و رسوبگذاری اندک بین آبشنکن‌ها محافظت می‌نماید، اما آبشنستگی اندکی در

باندال لایک در قوس به مقدار کم بهتر از مسیر مستقیم است. ملايم) برای عدد فرود يكسان (۰/۲۴) نشان می دهد که عملکرد

جدول ۲- مقادیر درصد کاهش پارامترهای چاله آبستگی در آبشکن نفوذپذیر و باندال لایک نسبت به آبشکن نفوذناپذیر در عدد فرود ماکزیمم (۰/۲۹)

Table 2- Amounts of decreasing percentage of scour hole parameter for permeable and bandal-like spur dike in comparison with impermeable spur dike at maximum Froude number (0.29)

نوع آبشکن Spur dike Type	<i>h</i>	<i>w</i>	<i>l</i>
آبشکن Nفوذپذیر٪۳۳	56	28	33
Impermeable spur dike 33%			
<hr/>			
آبشکن Nفوذپذیر٪۶۴	83	35	46
Impermeable spur dike 64%			
<hr/>			
باندال لایک Nفوذپذیر٪۳۳	53	23	27
Bandal-like 33%			
<hr/>			
باندال لایک Nفوذپذیر٪۶۴	69	32	40
Bandal-like 64%			

۶۴ درصد می باشد. میزان حداکثر عمق آبستگی نسبی در آبشکن های باندال لایک و نفوذپذیر به هم نزدیک می باشند. این مسئله نشان دهنده تأثیر قسمت نفوذپذیر آبشکن باندال لایک در کاهش میزان حداکثر آبستگی است. عرض نسبی چاله آبستگی در سازه باندال لایک عمدها تحت تأثیر قسمت نفوذپذیر سازه می باشد. به نظر می رسد سازه آبشکن باندال لایک با توجه به اینکه هم خصوصیات آبشکن بسته را در دور کردن جریان ازدیواره دارد و هم در کاهش سرعت و انرژی گردابهها مانند آبشکن باز عمل می کند، بتواند به عنوان جایگزین مناسبی برای آن دو در حفاظت دیواره خارجی در قوس رودخانه ها استفاده شود.

نتیجه گیری کلی

در این تحقیق آزمایش هایی جهت تعیین ابعاد چاله آبستگی در پیرامون آبشکن های نفوذناپذیر، نفوذپذیر و باندال لایک با هدف بررسی تأثیر نوع آبشکن و نفوذپذیری آن و همچنین عدد فرود بر روی طول، عرض و عمق آبستگی اطراف آبشکن ها در قوس ملايم انجام گرفت. نتایج تحقیق نشان داد:

كمترین میزان آبستگی در آبشکن نفوذپذیر با درصد نفوذپذیری ۶۴ درصد و بیشترین میزان آبستگی در آبشکن نفوذناپذیر اتفاق افتاد. ابعاد چاله فرسایشی اطراف آبشکن نفوذناپذیر به میزان قابل توجهی بیشتر از آبشکن نفوذپذیر و باندال لایک با نفوذپذیری ۳۳ و

منابع

- 1- Fazli M., Ghodsian M., Salehi Neyshabouri S.A.A. 2009. Bed Topography Variations in 90 Degree Bend Due to Diffirent Hydraulic Conditions. Modares Civil Engineering Journal, 35: 123-144. (in Persian)
- 2- Rahman M.M., Nakagawa H., Ishigaki T., and Khaleduzzaman A.T.M. 2003. Channel Stabilization Using Bandalling. Annual of Diaster Prevention Research Institute, Kyoto University, 46(B): 613-618
- 3- Rahman M.M., Nakagawa H., Khaleduzzaman A.T.M., and Ishigaki T. 2003. Flow and scour-deposition around bandals. p.177-180. In Proceedings of 5th International summer Symposium,JSCE, Tokyo, Japan.
- 4- Rahman M.M., Nakagawa H., Khaleduzzaman A.T.M., Ishigaki T., and Muto Y. 2004. On the formation of Stable River Course. Annual of Disaster Prevention Research Institute, Kyoto University, 47(B): 601-616.
- 5- Rahman M.M., Nakagawa H., Khaleduzzaman A.T.M., and Ishigaki T. 2005. Formation of navigational channel using bandal-like structures. Annual Journal of Hydraulic Engineering, Japan Society of Civil Engineers, 49: 997-1002.
- 6- Shaker E., Kashefpour S.M. 2014. Experimental Investigation on Velocity and Shear Stress Distributions in a 90-

- Degree Bend With and Without Series of Groynes. Water and Soil Science, Tabriz University, 24(3): 55-68. (in Persian with English abstract)
- 7- Sharmin R., Rahman M.M., Matin A., Haque E., Hossain I., and Razzak A. 2007. Effectiveness of Bandalling and dredging for the maintenance of navigation channel in the Jamuna River. p. 125-133. In Proceeding of the International Conference on Water & Flood Management, 12-14 Mar, Dhaka, Bangladesh.
- 8- Shojaeian Z., Kashefpour S.M., Mosavi Jahromi S.H. 2015. Experimental Study of the Effect of Permeability Percentage of Bandal Like Spur Dike on Maximum Depth of Scour Hole. Water and Soil Science, Tabriz University, 25(3): 105-116. (in Persian with English abstract)
- 9- Teraguchi H., Nakagawa H., Kawaike K., Bans Y, and Zhang H. 2011. Effects of hydraulic structures on river morphological processes. International Journal of Sediment Research. 26(3): 283-303.
- 10- Teraguchi H., Nakagawa H., Kawaike K., Baba Y. and Zhang H. 2011. Alternative method for river training works: Bandal-like structures. Annual Journal of Hydraulic Engineering, JSCE, 55: 151-156.
- 11- United States Army Corps of Engineers, (1981), Roughans Point Revere, Massachusetts Coastal Flood Protection Study. United States Army Corps of Engineers Water Resources Investigation.
- 12- Zhang H., Nakagawa H., Baba Y., Kawaike K., and Teraguchi H. 2010. Three-dimensional flow around Bandal-like structures. Annual Journal of Hydraulic Engineering, Japan Society of Civil Engineers, 54: 175–180.
- 13- Zhang H., Nakagawa H., Baba Y., Kawaike K., and Rahman M.M. 2011. Hydraulic and Morphological Consequences of Bank protection measures along the Jamuna river, Bangladesh. Annual of Disaster Prevention Research Institute, Kyoto University, 54(B): 477-496



Experimental Investigation on the Scour Hole Geometric Dimensions in Different Spur Dikes in 90 Degree Bend for Non-Submerged Conditions

S. Rahimi^{1*} - S. M. KashefiPour² - M. Shafai Bajestan³ - A. Fathi⁴

Received: 10-02-2016

Accepted: 14-08-2016

Introduction: Outer bank region is always exposed to destruction and scour due to secondary flow. Different methods are generally used to protect the outer bank. One of the most common and economical ways is spur dike. As an obstacle in the flow, spur dikes protect the outer bank through decreasing the velocity and forming vortexes between them and as a result sedimentation along that area. However, the spur dike increases the shear stress and local scour around the spur, especially its nose.. This study investigates the scour hole dimensions around three types of spur dike including permeable, impermeable and bandal-like spur dike which is done as a combination of permeable and impermeable spur dike. Few studies were focused on field applications and laboratory experiments to investigate the practical applicability of the bandal-like structure in natural rivers. Rahman et al. (4) Studied the prediction of main channel degradation and local scour around hydraulic structures (impermeable and bandal-like spur dikes) under non-submerged condition. Teraguchi et al. (9) Investigated the influenced of submerged condition on flow characteristics and sediment transport process caused by bandal-like structures with different spacing and alignment under live-bed scour condition through laboratory experiments.

Materials and Methods: Experiments were carried out in the Physical Modeling Laboratory of Faculty of Water Science Engineering of Shahid Chamran University, Ahwaz. The main channel consisted of a 5m long upstream and a 3m long downstream straight reaches. A 90 degree bend was located between the two straight reach. The channel was of rectangular cross section, having a width of 0.7m and depth of 0.6m, with mild bends (ratio of radius to a width equal to 4) and it was filled with almost uniform sediment with a median particle size of $D_{50}=1.5$ mm. The discharges were measured using an ultrasonic flow meter, which was installed on the pipe inlet of the flume. The water elevation was regulated using the sliding gate installed at the end of the flume. Plexiglas with a thickness of 0.01m was used for impermeable part of spurs and the permeable part prepared by using steel roll piles with 4mm diameter. The most erodible area along the bend was determined and after installing the spurs, the bed surface was leveled by a plate attached to the carriage mounted on the channel. Then the inlet valve was opened slowly and the gate at the end of the flume was first closed. The discharge increased to a predetermined value so that no scour occurs at the straight reaches of the flume. Each experimental case was carried out for 3 hours under clear-water scour condition. At the end of experiments, water was carefully drained out and measurement of bed topography was done using laser bed profiles.

Results and Discussion: The most erodible area along the bend was determined using the procedure described by the U.S. Army Corps of Engineers and in each experimental case specified the critical spur in terms of the maximum erosion around it that happened at the exit of the bend (sections of 80 to 90 degree of bend) and downstream straight reach in all conditions. The centrifugal force will occur has increased the water depth at the exit of the bend. This increase in flow depth is associated with longitudinal negative pressure gradient due to this maximum velocity occurs at the exit of the bend and by this high velocity flow the shear stress increases. The characteristics of the scour hole have been shown to be affected by Froude number and this parameter has a direct relation to maximum relative scour depth and dimensions of the scour hole. The results showed that by increasing the permeability percentage, the amount of maximum relative scour hole depth, length and width decreased. The amount of relative scour depth in permeable and bandal-like spur dike decreased (62% and 55%), and (87% and 76%) for permeability of 33% and 64%, respectively in comparison with impermeable spur dike.

Conclusions: The effect of hydraulic structures, with emphasis in the bandal-like structures, on the scour hole geometric dimensions were investigated in this study. Five types of structures (impermeable, permeable and bandal-like with a permeability of 33% and 64%) were tested experimentally. It was found that:

The increase of permeability, reduced scour rate significantly, such that, the maximum amount of depth, width and length of scour-hole was related to impermeable spur dike (with permeability of 0.0%) and the

1 , 2, 3 and 4- Ph.D. Student, Professors, and Assistant Professor of Hydraulic Structure Department, Faculty of Water Science Engineering, University of Shahid Chamran Ahwaz

(*- Corresponding Author Email: aes_rahimi@yahoo.com)

minimum amount belonged to the permeable spur dike with 64% permeability. The performance of bandal-like structures considering the erosion process around the structures show close results compared with permeable spur dikes.

Keywords: Bandale Like, Channel bend, River bank protection

Archive of SID